

れた試錐は1孔のみである。

5-5-2 測定結果

ゴッサン北側

比抵抗構造は、地表から深部にかけて概ね高比抵抗(100 Ω m以上) - 低比抵抗(約20 Ω m ~ 50 Ω m) - 中~高比抵抗(50 Ω m以上) - 低比抵抗(数10 Ω m前後)の4層をなしている(Fig. II-5-6)。

第1層の厚さは数10m以下と全体に薄いですが、Fig. II-5-7(1)にみられるように南東部及び南西部でやや厚く、深度50~75mまで分布している。ゴッサンの北縁(測線0の測点7.5)では第1層は分布せず、第2層の低比抵抗層が露出している。第2層の低比抵抗層の厚さは最大50m程度で、その上面深度は北に向かって徐々に深くなり(Fig. II-5-6の測線0)、この低比抵抗層はさらに北西方向に延びている(Fig. II-5-7(1))。第3層の上面は深度約100mに位置し、調査地区に広く分布しているが、南東部では欠如し、ほぼ同じ深度に低比抵抗層が存在する(Fig. II-5-6の測線150E, 200E)。

最下層の第4層はほぼ一様に深度約200m以深に分布する。

ゴッサン西側

比抵抗構造は、地表から深部にかけて概ね高比抵抗(100 Ω m以上) - 低比抵抗(10 Ω m ~ 数10 Ω m) - 中~高比抵抗(50 Ω m以上) - 低~中比抵抗(20~数10 Ω m)の4層構造をなしている(Fig. II-5-8)。

第1層の厚さは約50m以下で全体に薄いですが、北西部及び南部の中央付近でやや厚くなっている(Fig. II-5-9(1)の深度50m)。第2層の低比抵抗層は厚さ数10mでほぼ層状に分布し、測線450V, 500Vの測点11付近では比抵抗値が最低10~13 Ω mと低く(Fig. II-5-8)、西方向に少しずつ深くなり、比抵抗値も少しずつ高くなっている(Fig. II-5-9(1), Fig. II-5-9(2))。第3層の中~高比抵抗層は、深度約100~150mに分布し、北東部では高比抵抗を示す(Fig. II-5-9(2)の深度150m)。

5-6 ダリス地区

5-6-1 測点設定

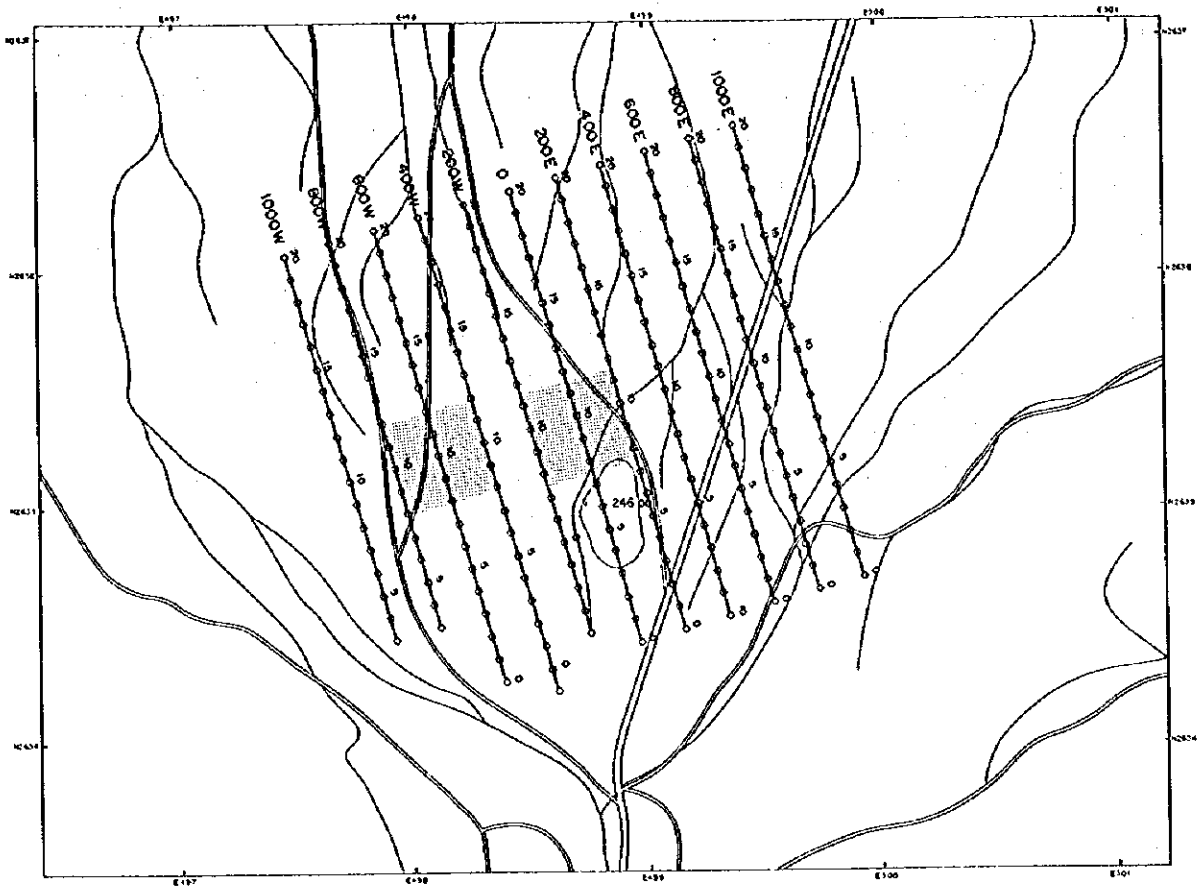
本地区ではT D I P法により得られたゴッサン(測線0, 測点10)及びその周辺部でのI P異常に対してT E M法を実施した。

調査位置はFig. II-5-2に示すとおり400m×400mの範囲で、本調査地域内では過去にBRGMが7か所で試錐を行っている。しかしながら、掘削深度はいずれも100m以浅である。

5-6-2 測定結果

比抵抗構造は、地表から深部にかけて概ね中比抵抗（数10 Ω m～100 Ω m）－低比抵抗（約10 Ω m～数10 Ω m）－高比抵抗（100 Ω m以上）の3層構造をなしているが（Fig. II-5-10, Fig. II-5-11）、測線100E, 050Eの中央部では低比抵抗－高比抵抗の2層構造、測線150W～300Wの北側では中比抵抗－高比抵抗－低～中比抵抗－高比抵抗の4層構造をなしている。

第1層の厚さは約20m以下と極めて薄く、ほぼ測定域をカバーしていることから、第四紀堆積物あるいは地下水上面を反映していると考えられる。第2層の低比抵抗層の厚さは最大数10mで、東部で地表に露出し、南東に向かって徐々に深くなっている（Fig. II-5-12(1)）。北西部では第2層の低比抵抗層は認められず高比抵抗層が分布し、低比抵抗層との境界は北東－南西方向に延びている（Fig. II-5-12(1)の深度50m）。第3層の高比抵抗層は北西部を除く全域に分布し、その上面深度は東側で約50mと浅く、北西方向に行くにしたがい深くなっている（Fig. II-5-12(2)）。北西部に認められる第3層の低比抵抗層は、厚さは最大約100m、上面深度は約100m～150mで西側ほど深くなっている（Fig. II-5-11の測線250N～150N）。



()

()

()

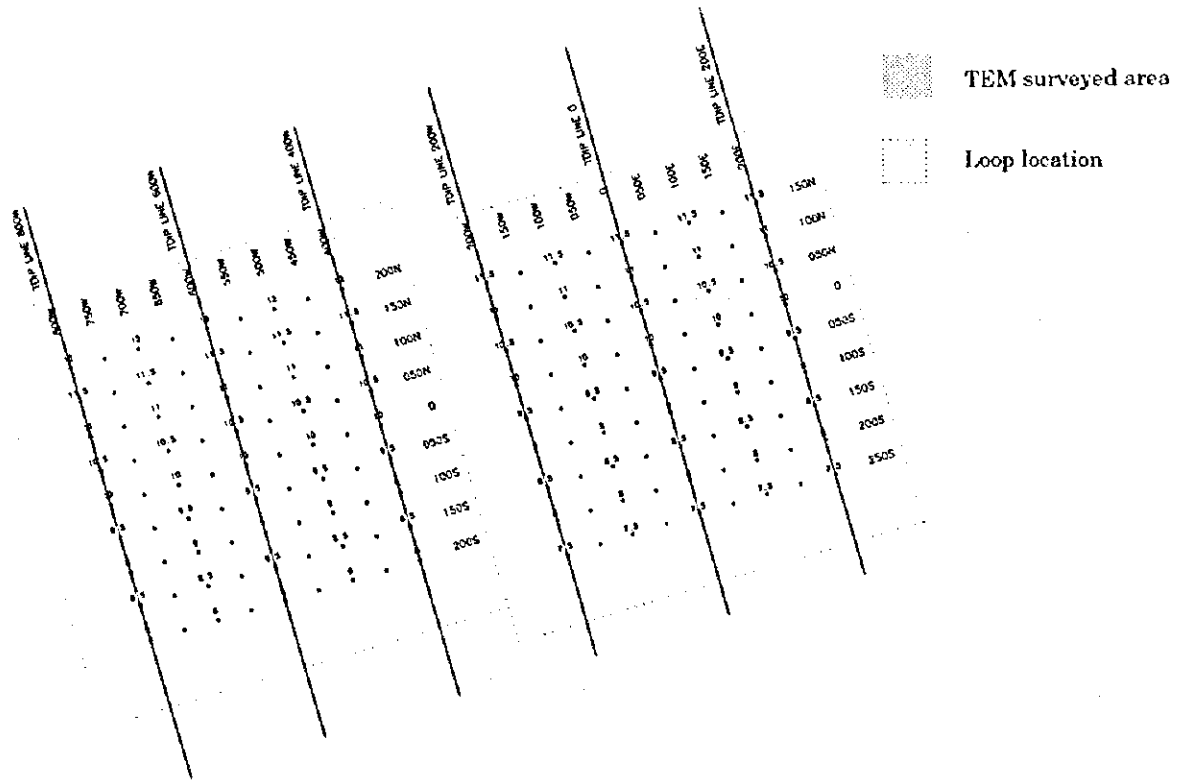


Fig.II-5-1 Ghuzayn survey site showing transmitter loop location

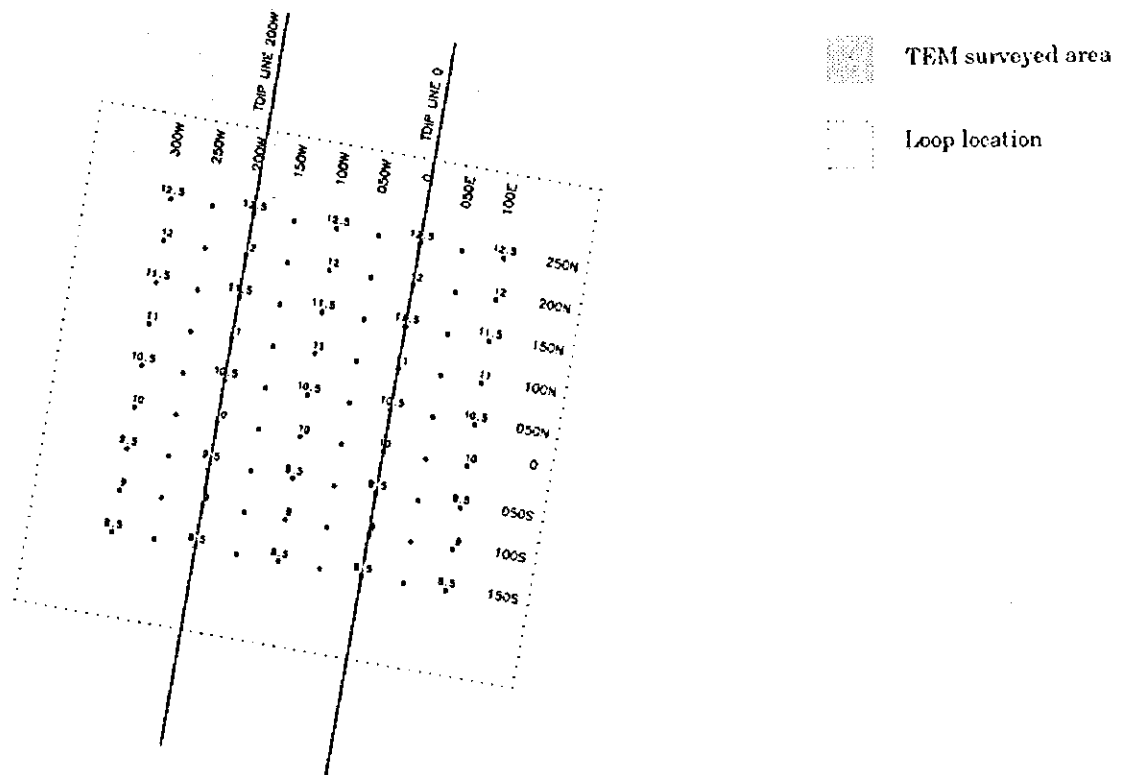
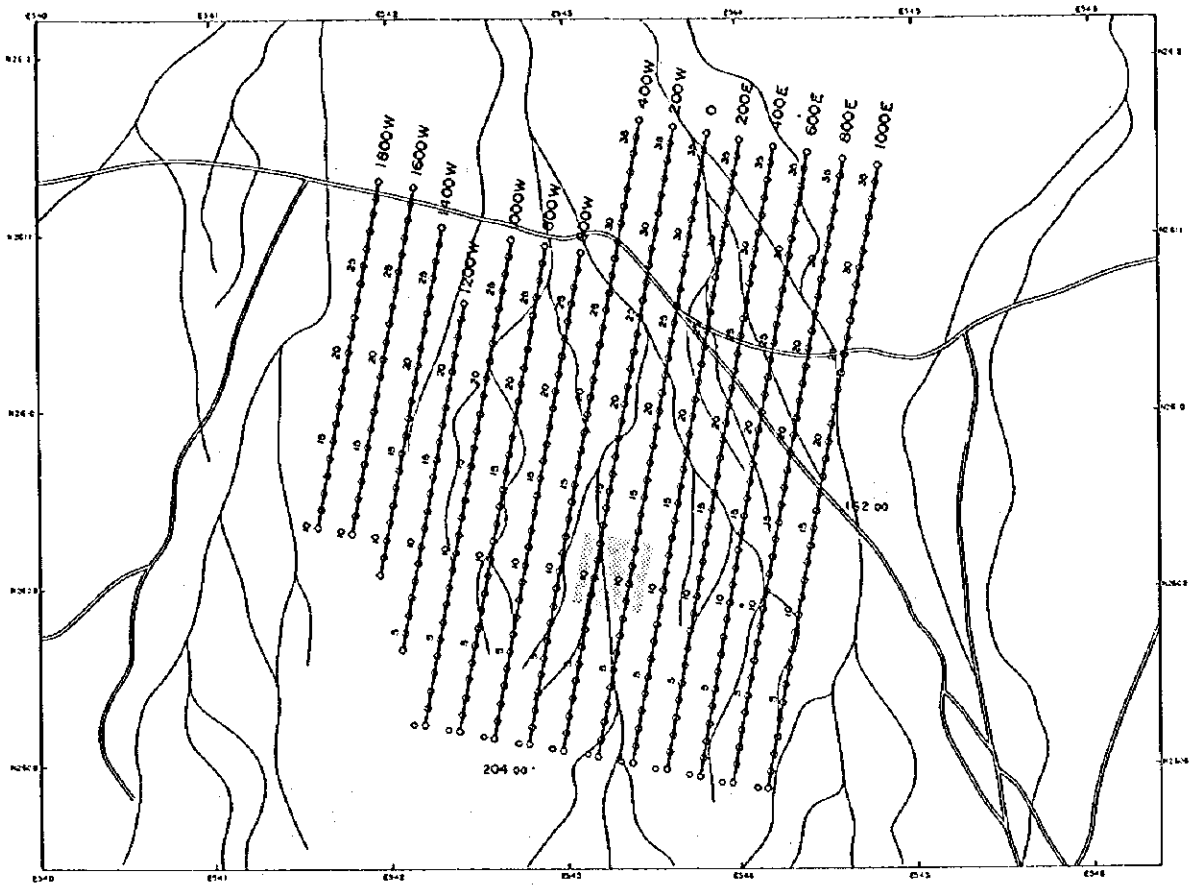


Fig.II-5-2 Daris survey site showing transmitter loop location

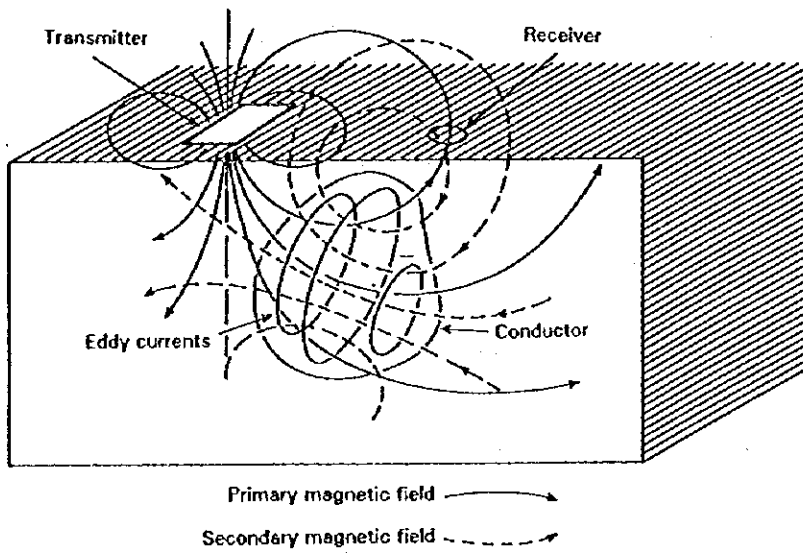
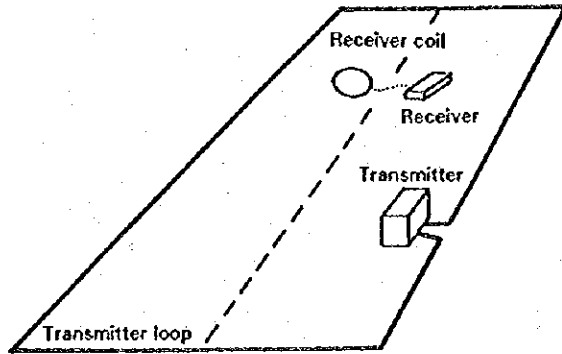


Fig II-5-3 Schematic TEM survey configuration

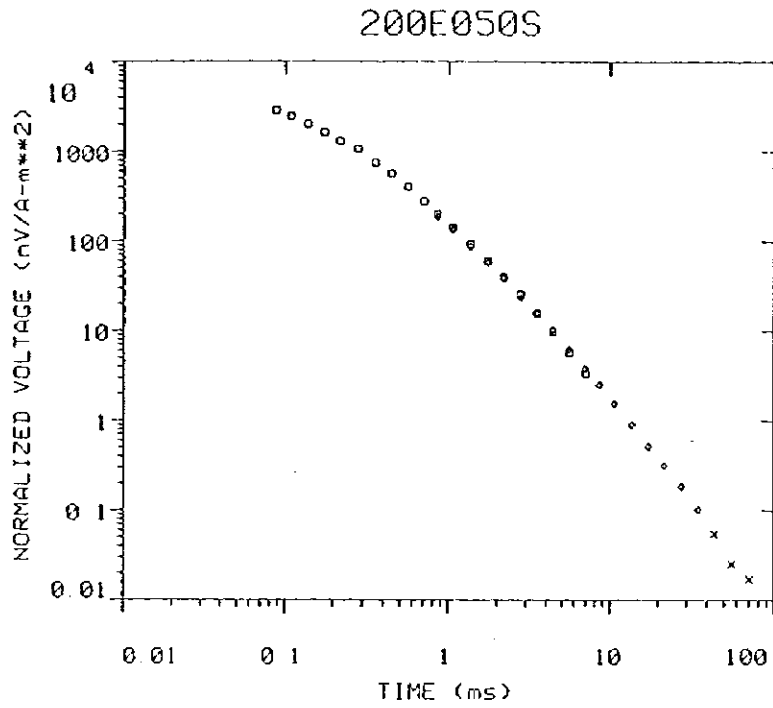


Fig.II-5-4 Example of TEM decay curve

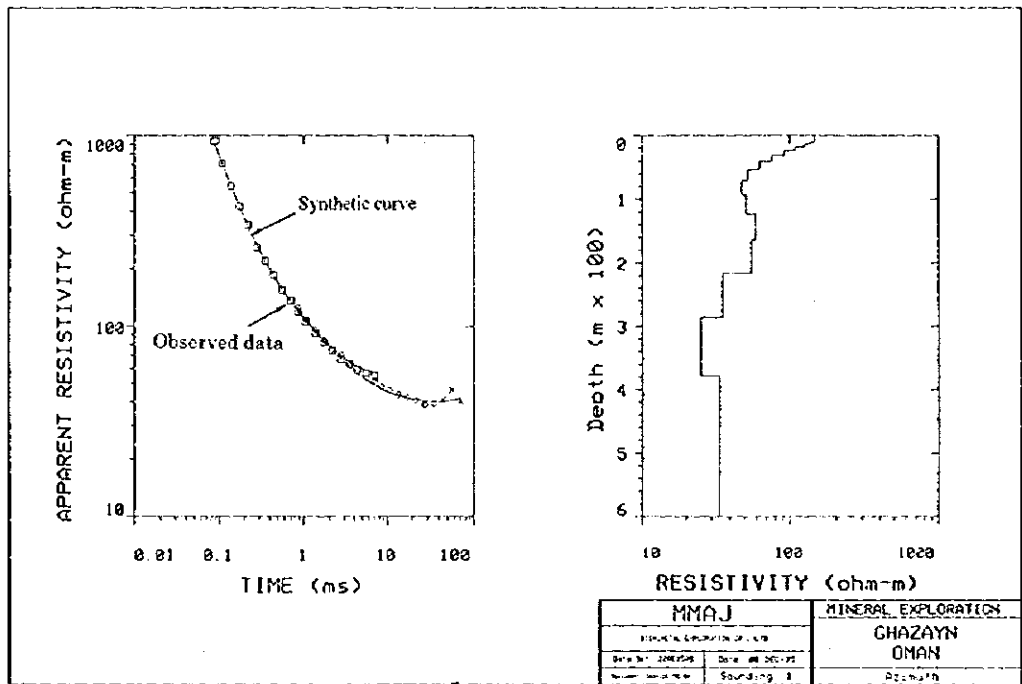


Fig.II-5-5 Example of 1-D smooth layer inversion analysis

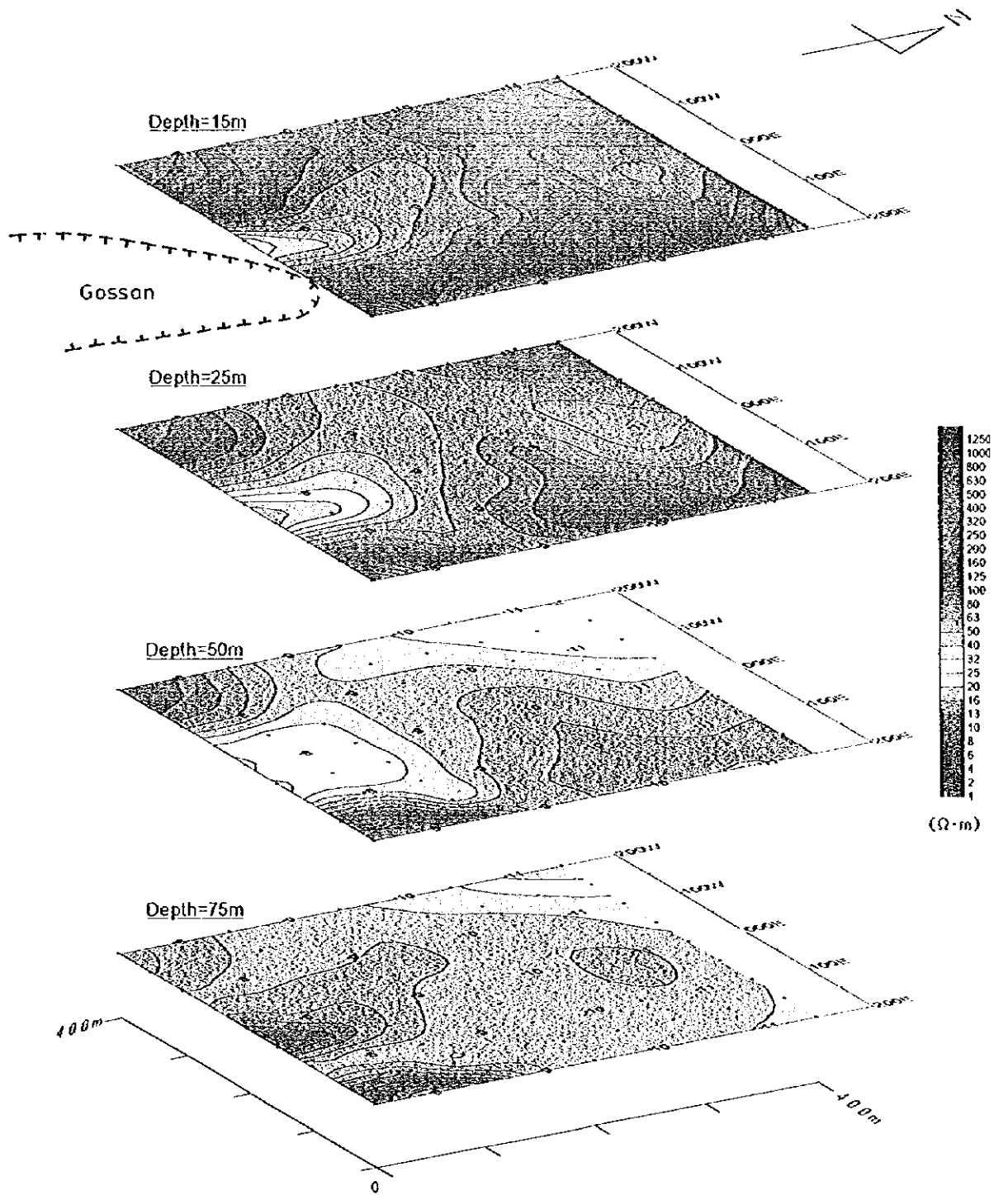


Fig II-5-7(1) Resistivity plan maps in Ghuzayn Gossan north area

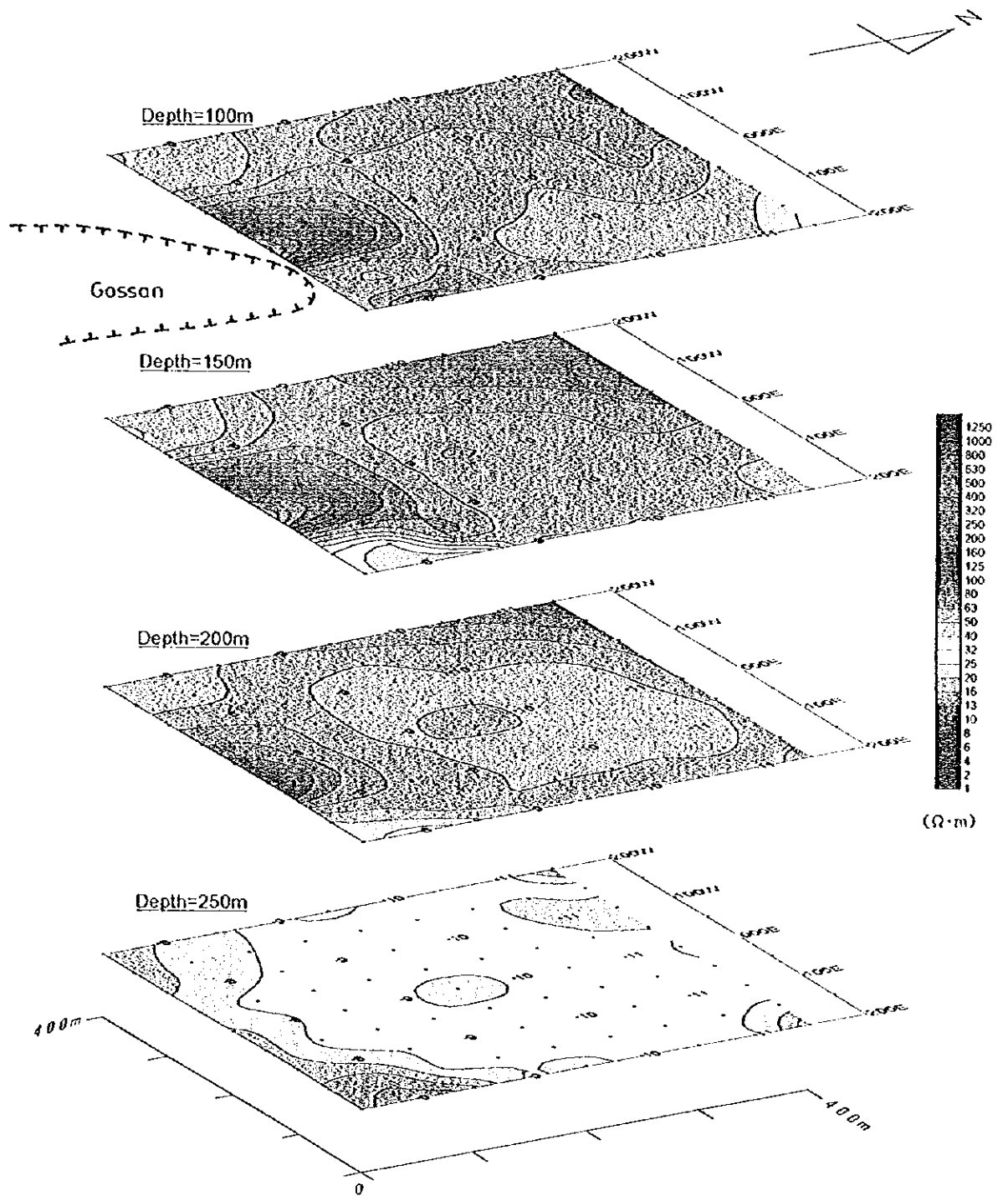


Fig.II-5-7(2) Resistivity plan maps in Ghuzayn Gossan north area

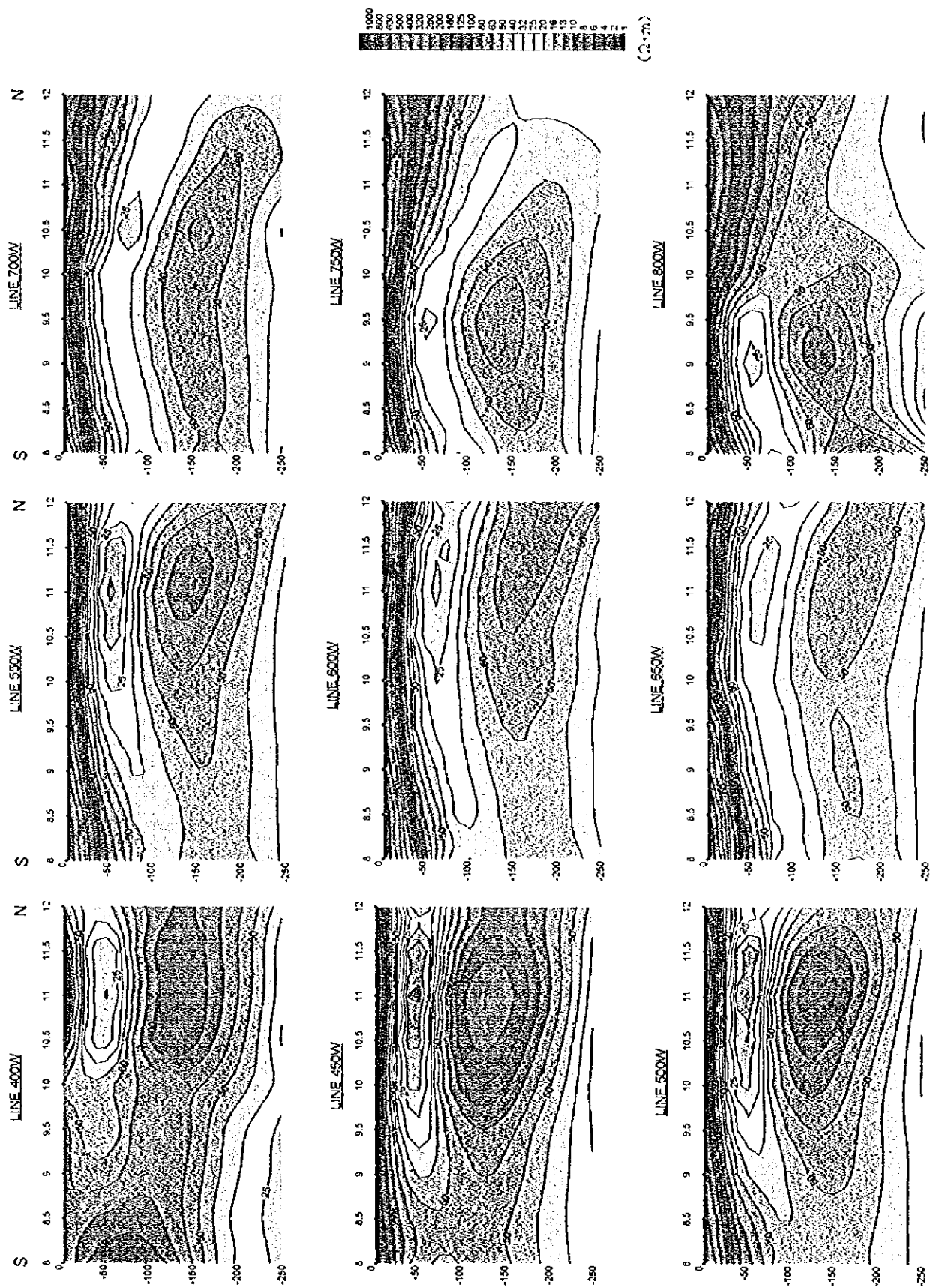


Fig II-5-8 Resistivity sections in Ghuzayn Gossan west area



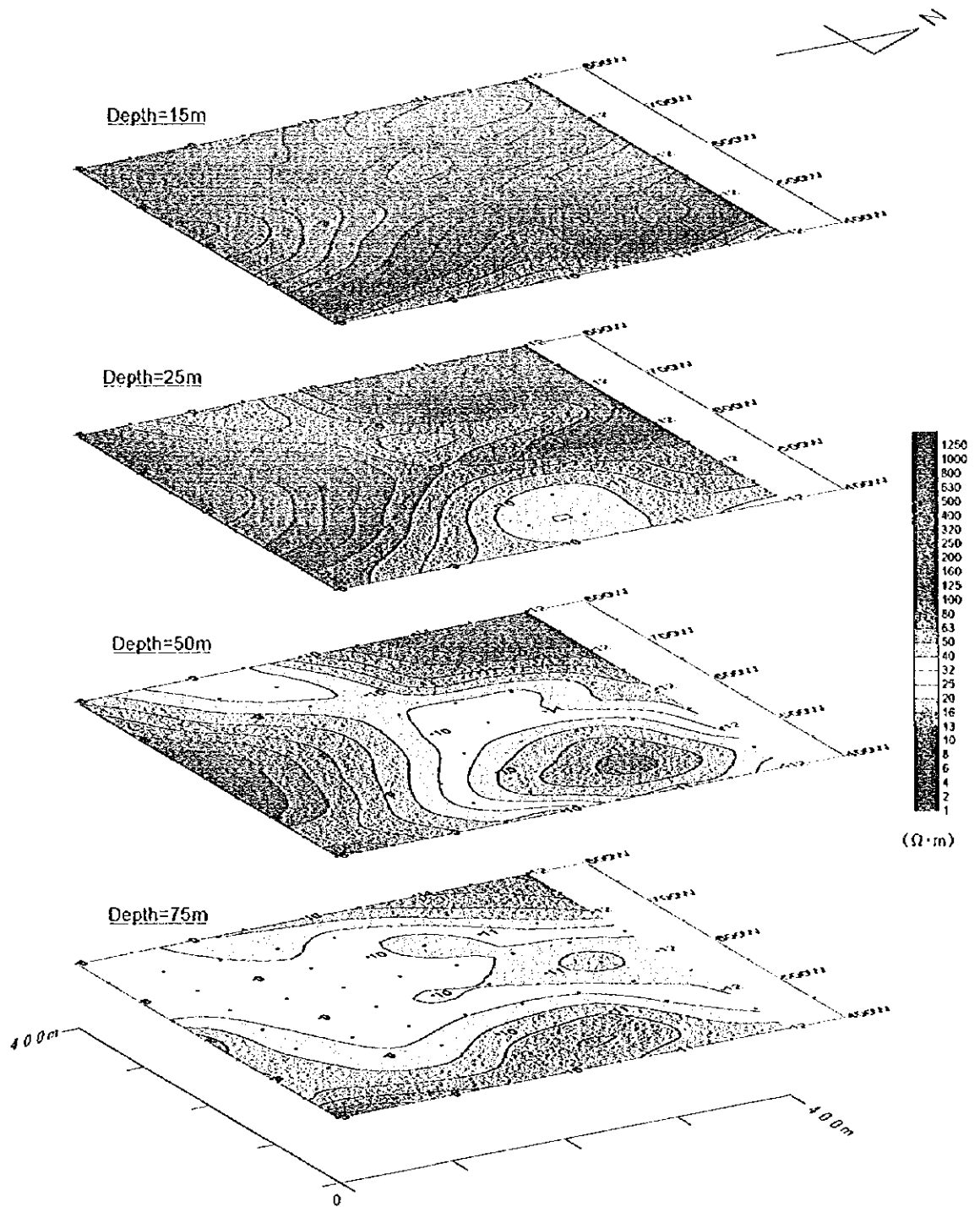


Fig II-5-9(1) Resistivity plan maps in Ghuzayn Gossan west area

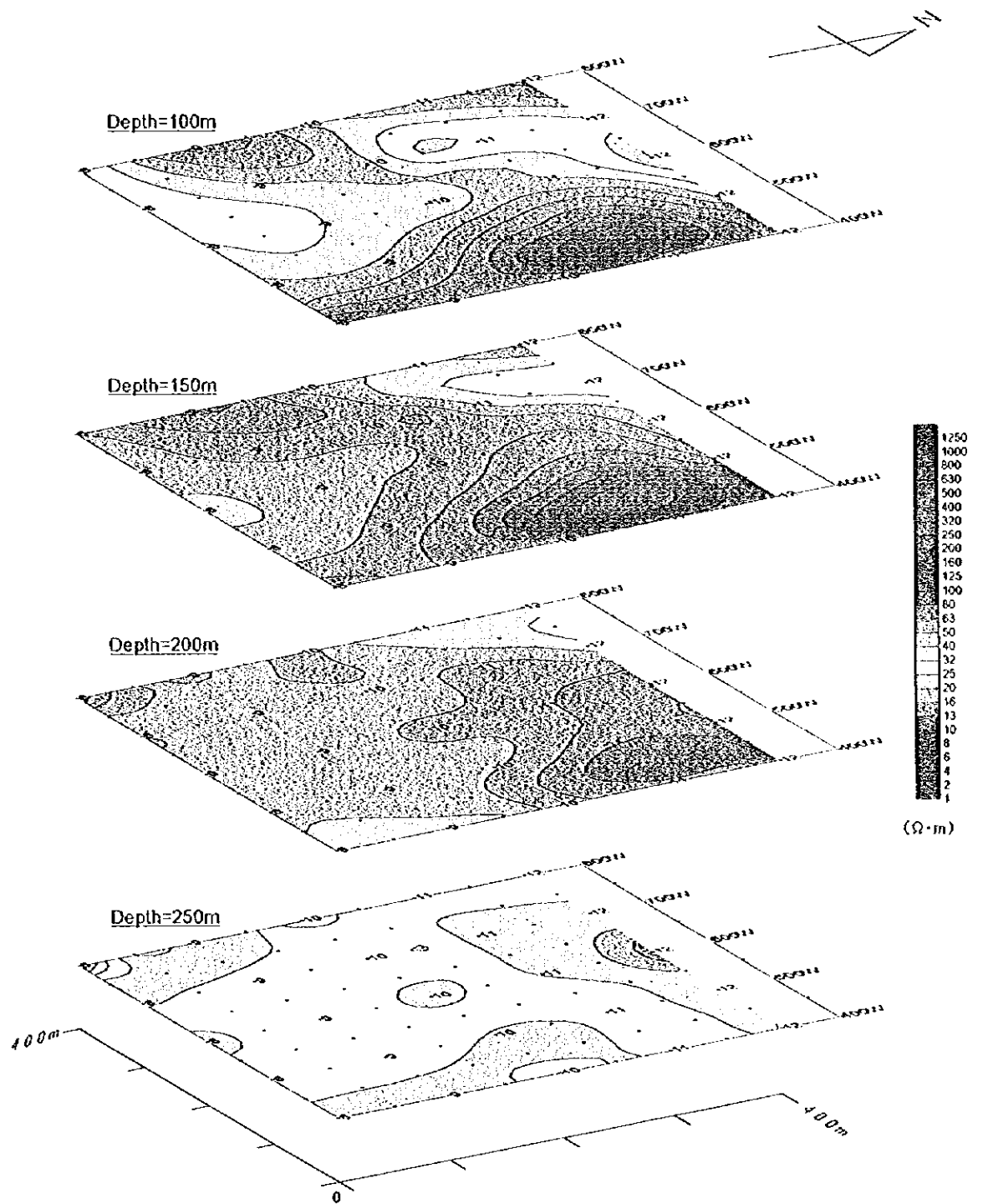


Fig.II-5-9(2) Resistivity plan maps in Ghuzayn Gossan west area

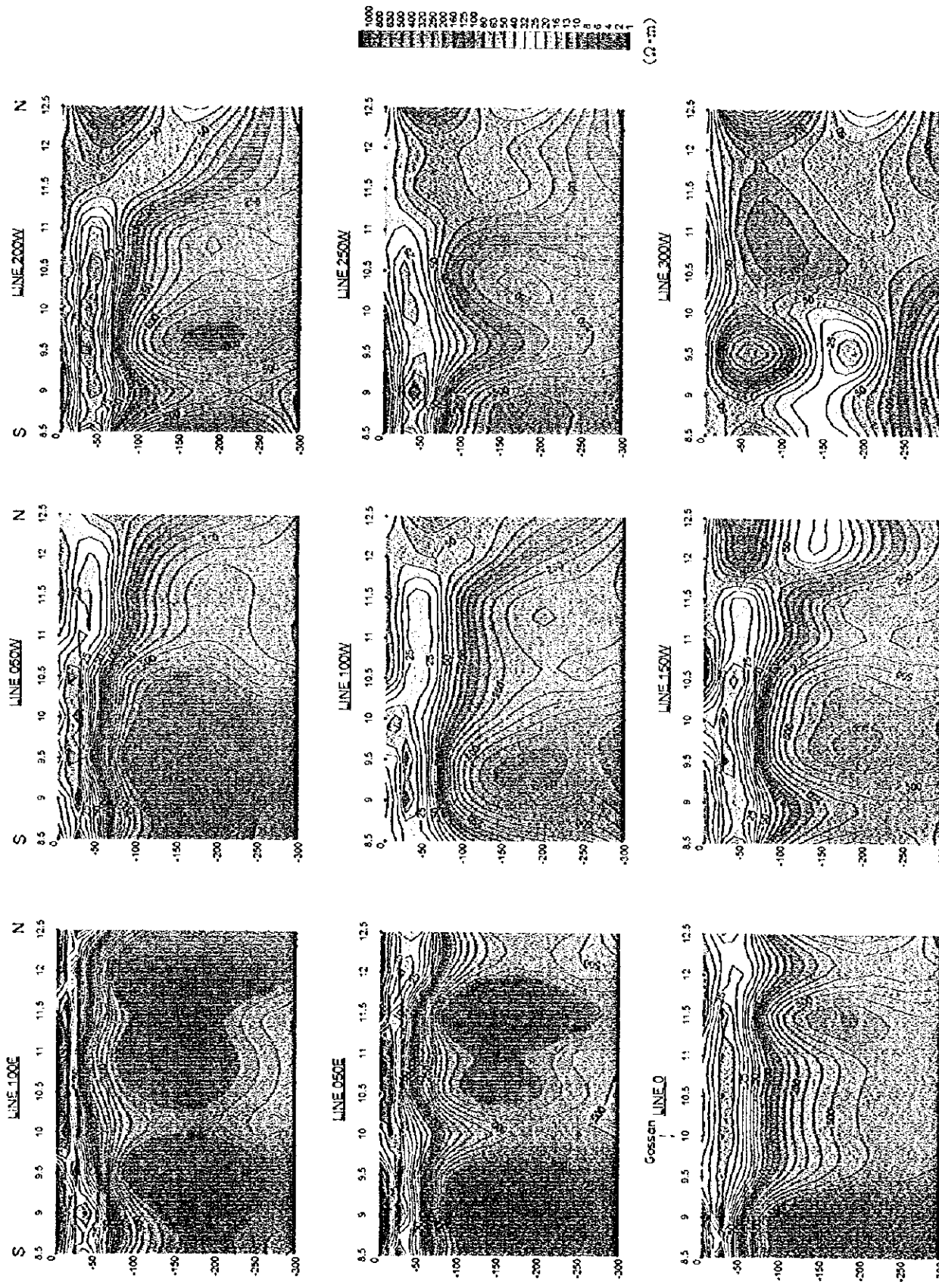


Fig II-5-10 Resistivity sections in Daris area

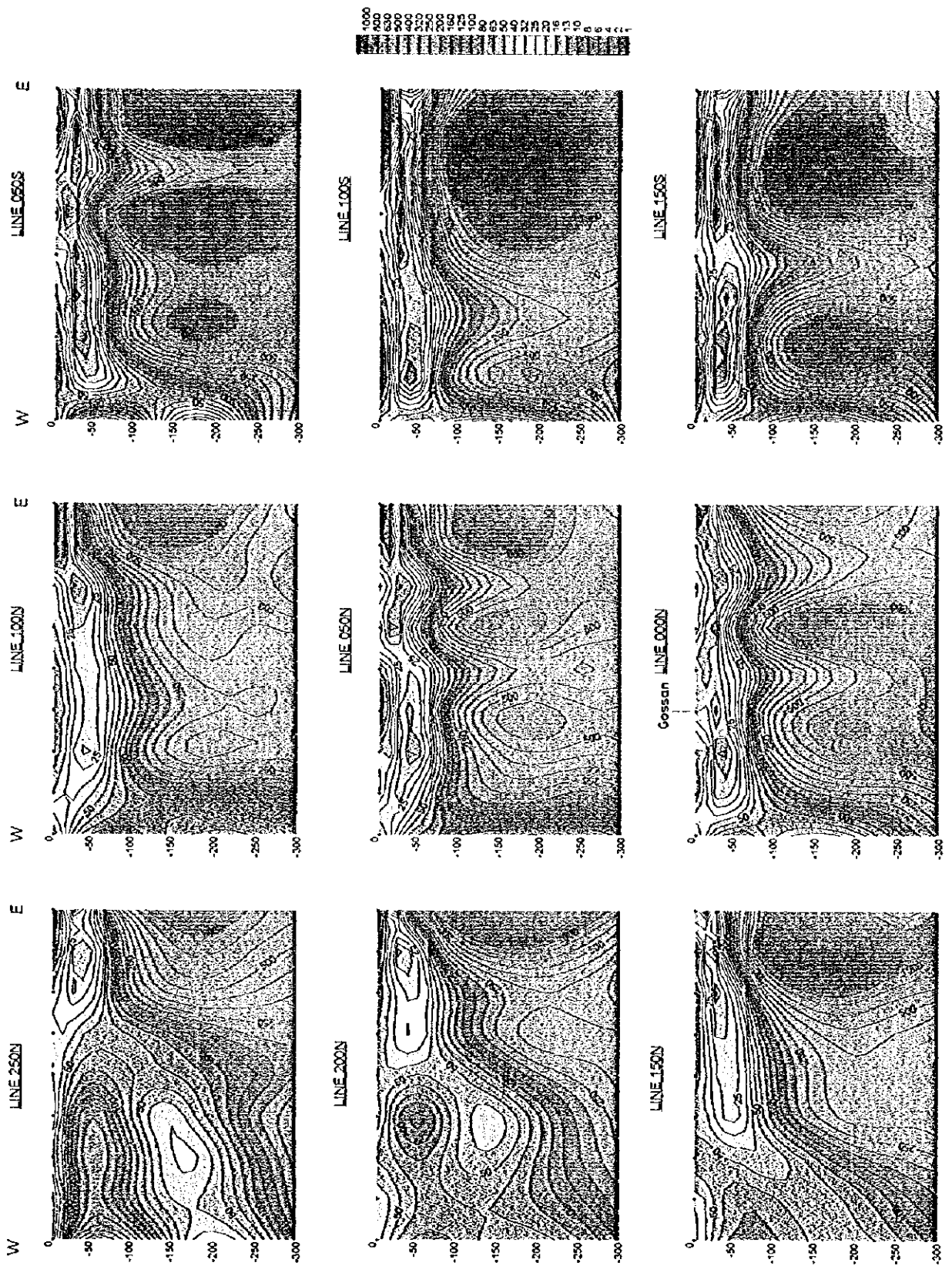


Fig II-5-11 Resistivity sections in Daris area

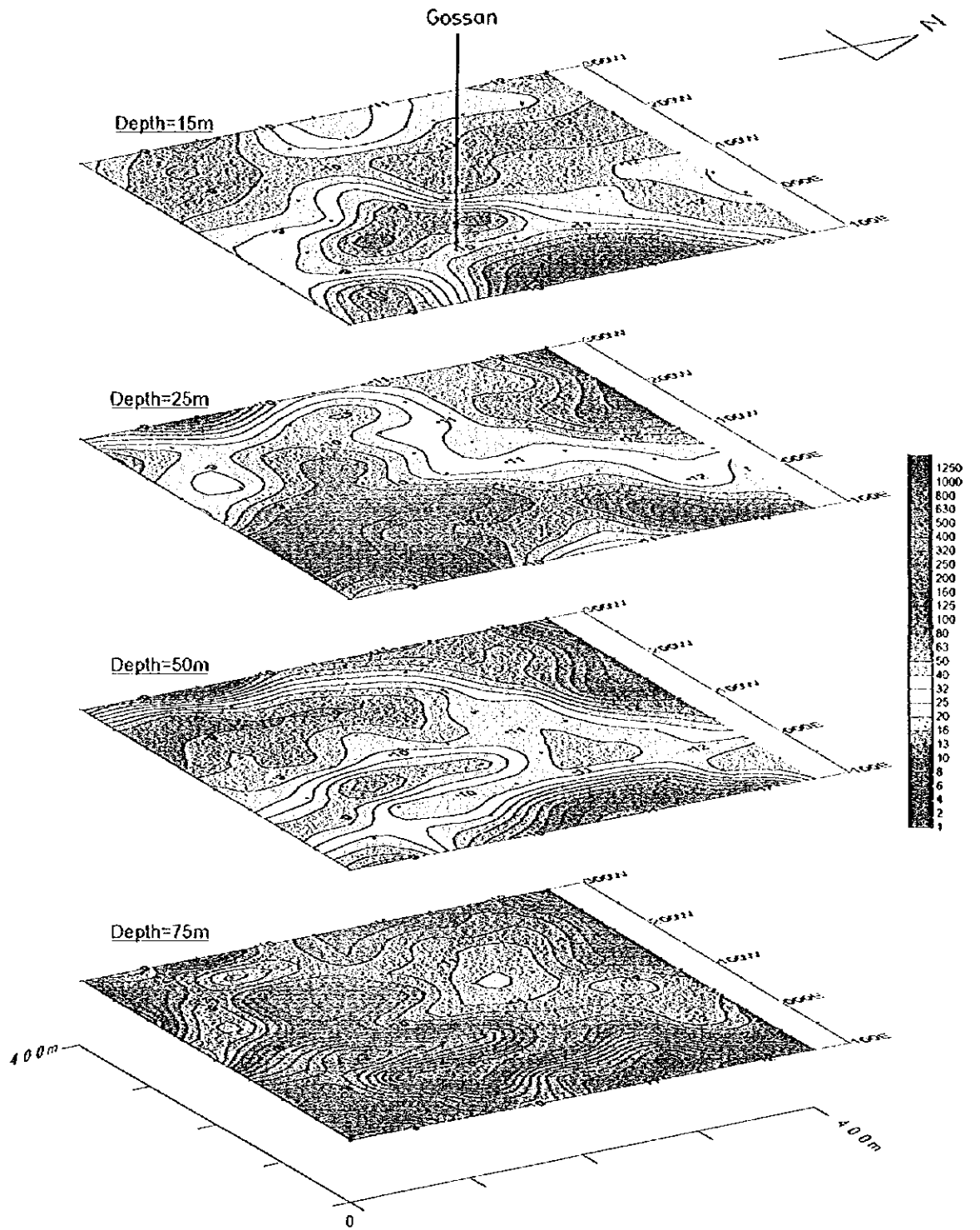


Fig II-5-12(1) Resistivity plan maps in Daris area

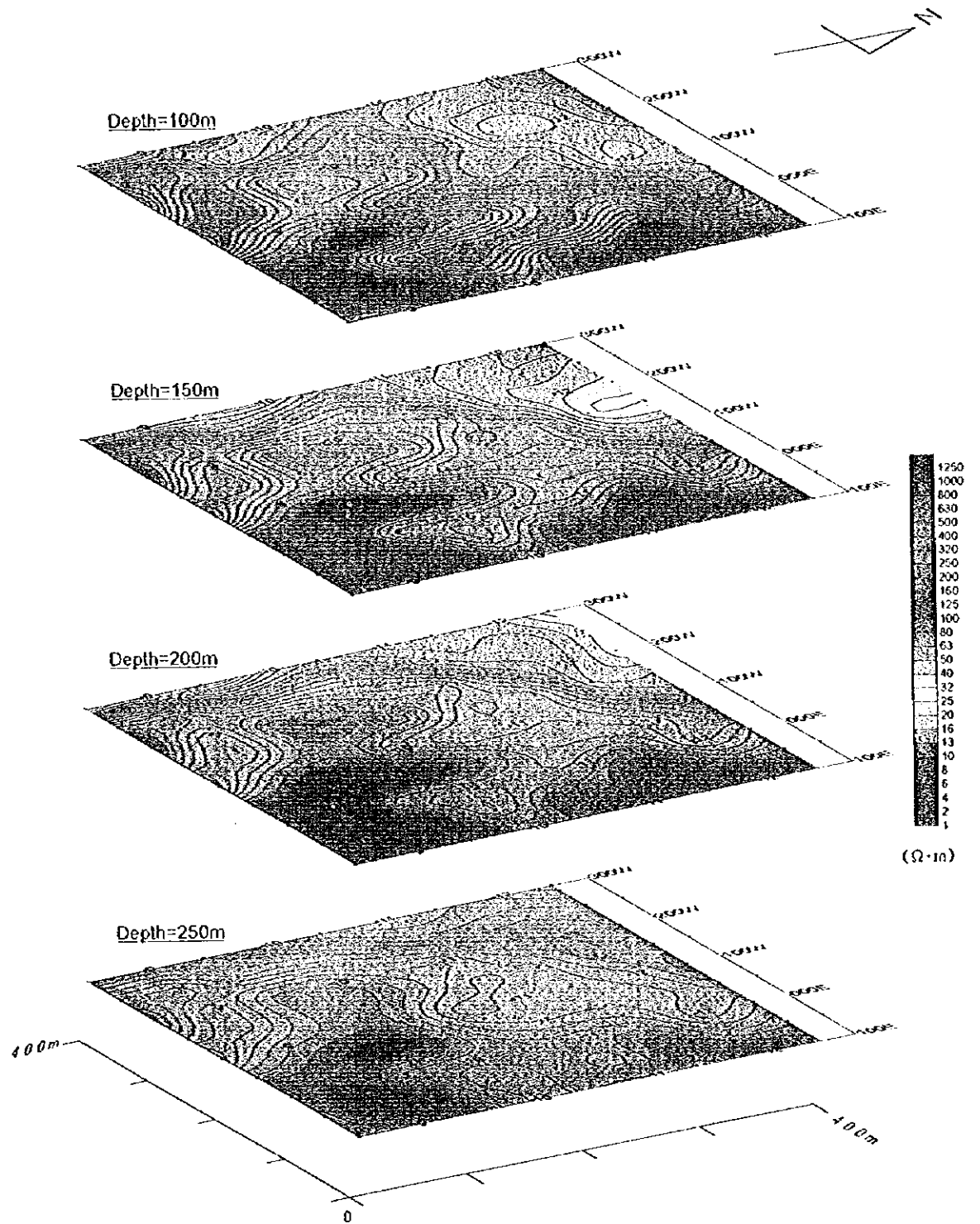


Fig II-5-12(2) Resistivity plan maps in Daris area

第III部 結論及び提言

第 1 章 結 論

本年度の調査結果は以下のように結論付けられる。

- (1) 塊状硫化物鉱床の賦存は下部火山岩類中の下部層 (V_{1-1} 層) と上部層 (V_{1-2} 層) の境界部に期待されることから、この境界部を概査地区全域で追跡し、その分布を明らかにした。しかし C 地区では V_{1-1} 及び V_{1-2} 層が欠如しており、鉱床が賦存する可能性は低いことがわかった。
- (2) 過去に探査が実施された 5 地区のうち、グザインゴッサン、ダリス 3 A 5 及びダリス地区は地表兆候から鉱床賦存の可能性が高い地区であると判断されたが、ブワイク及びダリス西部地区については鉱床の存在を示すような地表兆候あるいは地質条件が認められなかった。
- (3) グザイン地区ではその中央に位置する既知のゴッサンの他に、東部 (グザイン東部地区) では連続性のある含銅石英脈、西部 (グザイン西部地区) では広範囲にゴッサン化した玄武岩の分布を確認した。
- (4) 本調査で新たにドカール、ファルダー、サナー、グザイン部落北方及びクワイヤにおいてゴッサンを発見した。これらのうち、ドカールとファルダーで採取した試料からは金及び銀を検出した。またクワイヤのゴッサンはシート状岩脈群中の石英脈に伴われたものであることを確認した。
- (5) グザインゴッサン地区、グザイン西部地区、グザイン東部地区、ダリス 3 A 5 地区及びダリス地区の 5 地区において、電気探査 I P 法を実施した結果、グザインゴッサン地区ではゴッサンの北と西に有望な I P 異常を捕捉し、ダリス地区においてもゴッサンの周辺に明瞭な I P 異常が確認された。またダリス 3 A 5 地区においては、比較的分極率の高いゾーンがゴッサンから西の方に伸びているのが確認された。
- (6) グザインゴッサン地区で実施した T E M 法調査では、ゴッサンの北方隣接部の浅部 (地表下 40 m 付近) に T E M 異常を検出した。この異常は北西にむかって少しずつ深くなる傾向を示す。また、ゴッサンの北東方の深部 (地表下 150 m 付近) にも T E M 異常を検出した。ゴッサンの西方の地区では、その北東部の浅部 (地表下 50 m 付近)、南西部の中深部 (80 m 付近) 及び北西部の中深部 (地表下 100 m 付近) に T E M 異常を検出した。この異常は中央部に向かって深さを増しながら連続することが確認された。
- (7) ダリス地区で実施した T E M 法調査では、ゴッサンから調査地区の北東部にかけて北東方向に伸びる浅部 (地表下 20 m 付近) の T E M 異常及びゴッサンの西方から北西方向に伸びる浅部 (地表下 40 m 付近) の T E M 異常を検出した。また調査地区の北西部の深部 (地表下 150 ~ 200 m 付近) にも T E M 異常を捕捉した。

第2章 第2年次への提言

本年次の調査結果から、第2年次の調査として以下のようなボーリング調査、物理探査及び地質準精査をFig. I-5-1に示す地区で実施することを提言する。

(1) 地質準精査

IP法調査を実施するドカール、ファルダ、サナー及びグザイン部落北方及びその周辺地区に対して、地質及び鉱化状況を詳細に把握するための地質準精査を実施する。

(2) 物理探査

第1年次で新たにゴッサンが発見されたドカール、ファルダ、サナー及びグザイン部落北方において、塊状硫化物鉱床が賦存する可能性を調査するためにIP法とTEM法による物理探査を実施する。なお、TEM法調査はIP法調査によって抽出されるIP異常に対して実施するものとする。また、第1年次で広範囲のIP異常が捕捉されたダリス地区北部に対してもTEM法調査を実施する。

(3) ボーリング調査

グザインゴッサン地区のゴッサンの北及び西に抽出されたTEM異常、ダリス地区のゴッサンの北及び北西方、さらに同地区の東部及び西部に抽出されたTEM異常、及びダリス3A5地区で抽出されたIP異常に対して、鉱床の存在を確認するために深度150 m～300 mのボーリング調査を実施する。また、第2年次で新たに実施する物理探査によって捕捉される有望地区に対しても同様にボーリング調査を実施する。

参 考 文 献

- 1) BECHENNEC F., BEURRIER M., RABU D. and HUTIN G. (1986): Geological map of BARKA, -Sheet NF 40-3B, scale 1:100,000: explanatory notes.
- 2) BECHENNEC F., ROGER J., MRTOUR J.L., WYNS R. and CHEVREL S. (1992): Geological map of IBRI, -Sheet NF 40-02, scale 1:250,000: explanatory notes.
- 3) BECHENNEC F., ROGER J., MRTOUR J.L. and WYNS R. (1992): Geological map of SEEB, -Sheet NF 40-03, scale 1:250,000: explanatory notes.
- 4) BEURRIER M., BECHENNEC F., RABU D. and HUTIN G. (1986): Geological map of AS SUWAYQ, -Sheet NF 40-3A, scale 1:100,000: explanatory notes.
- 5) BEURRIER M., BECHENNEC F., RABU D. and HUTIN G. (1986): Geological map of RUSTAQ, -Sheet NF 40-3A, scale 1:100,000: explanatory notes.
- 6) BISHIMETAL EXPLORATION CO LTD. (1987): Report on a copper exploration programme in the northern part of the Oman mountains: Volume 1: General, p..
- 7) BISHIMETAL EXPLORATION CO LTD. (1991): Report on geologic and geophysical surveys in the TAWI RAKAH area, Sultanate of Oman, p..
- 8) BISHIMETAL EXPLORATION CO LTD. (1992): Geophysical study in the prospects of Lasail west and Aarja in Sohar area and Hayl As Safil in Rakah area, Sultanate of Oman: Final Report, p..
- 9) BRGM (1994): Mineral occurrences catalogue, BRGM, 119 p..
- 10) HADDADIN M.A., SULAIMAN Z.K. and AL-FORI S.S. (1983): The Ghuzayn copper-iron prospect, re-evaluation, Khaburah district, Oman. M.P.M., Department of Minerals, 28 p..
- 11) ISLES D.J. and WITHAM W.J.A. (1993): Explanatory notes on the solid geological interpretation of AS SUWAYQ 1:100,000 sheet NF40-3A, World Geoscience Corporation, 15 p..
- 12) ISLES D.J. and WITHAM W.J.A. (1993): Explanatory notes on the solid geological interpretation of BARKA 1:100,000 sheet NF40-3B, and part of NAKHL 1:100,000 sheet NF40-3E, World Geoscience Corporation, 13 p..
- 13) ISLES D.J. and WITHAM W.J.A. (1993): Explanatory notes on the solid geological interpretation of SIB 1:100,000 sheet NF40-3C, and part of FANJAY 1:100,000 sheet NF40-3F, World Geoscience Corporation, 11 p..
- 14) JICA and MMAJ (1990): Report on the mineral exploration in the Pakah area, Sultanate of Oman, Bishimetal Exploration Co. Ltd..

- 15) LESCOUYER J.L. and DEGAY E. (1986): Detailed and semi-detailed exploration for copper and associated gold in the DARIS, MAHAB, RAKAH, SHINAS, GHUZAYN, WADI ANDAM, WASHIHI and AL AJAJ areas: Final report, BRGM, 125 p., 4 appendices.
- 16) LESCOUYER J.L., YACHETTE C. and BEURRIER M. (1989): Selection of zones for additional copper reserves between SHINAS and AL KHABURAH, northern Oman mountains: Final report, BRGM, 245 p..
- 17) O.C.M.C. (1994): Daris-part 5: Geological ore reserves at Daris 3A-5 as on 28 September 1994, Oman Mining Company, 10 p..
- 18) M.P.M. (1991): Summary of Cu prospects and recommendation for next program, M.P.M. of sultanate of Oman, 19 p..
- 19) RABU D., BECHENNEC F., BEURRIER M. and HUTIN G. (1986): Geological map of NAKHL, -Sheet NF 40-3E, scale 1:100,000: explanatory notes.
- 20) VILLEY M., BECHENNEC F., BEURRIER M., METOUR J. and RABU D. (1986): Geological map of YANQUL, -Sheet NF 40-2C, scale 1:100,000: explanatory notes.
- 21) World Geoscience Co. (1994): Report on ground geophysical surveys in the Sultanate of Oman, 5.4 Daris 3A-5 prospect, O.M.C.O., 15-21 p..
- 22) JEBRAK M., LETALENET J. and LESCOUYER (1985): Detailed and semi-detailed exploration for copper and associated gold in the Daris, Mahab, Rakah, Ghuzayn, Wadi Andam, Washihi and Al Ajal Area, Interim report, BRGM, 52-57 p..

圖 表 一 覽

圖 一 覽

Fig. 1	Location Map of the Central Batinah Coast area.	
Fig. 2	Location map of the survey areas.	
Fig. 3	Landsat image of the Central Batinah Coast area.	
Fig. I -3-1	Geologic map of the Central Batinah Coast area. -----	7
Fig. I -3-2	Mineral occurrence and metallogenic map of Central Batinah Coast area -----	9
Fig. I -3-3	Schematic distribution of Samail Volcanic Rocks and mineralization in Sohar area. -----	12
Fig. I -5-1	Location map of proposed survey area for Phase II -----	21
Fig. I -5-2	3-D resistivity view in Ghuzayn Gossan north area -----	23
Fig. I -5-3	3-D resistivity view in Ghuzayn Gossan west area -----	25
Fig. I -5-4	3-D resistivity view in Daris Gossan west area -----	27
Fig. II -1-1	location map of previous surveys in Ghuzayn prospect area -----	31
Fig. II -1-2	location map of previous surveys in Daris 3A5 prospect area -----	33
Fig. II -1-3	Panel diagram of Daris 3A5 deposits -----	35
Fig. II -1-4	location map of previous surveys in Daris prospect area -----	36
Fig. II -1-5	Cross section of borehole site in the western block of Daris prospect area -----	37
Fig. II -1-6	Plan map and cross-section of borehole site in the eastern block of Daris prospect area -----	39
Fig. II -1-7	Cross section of borehole site in the Al Ajal prospect area -----	39
Fig. II -1-8	Horizontal projection of the intersected mineralization in Al Ajal prospect area -----	40
Fig. II -1-9	Location map of exploration target area based on airborne geophysical survey prospect area -----	43
Fig. II -1-10	Composite image of pseudocolor total magnetic data and significant magnetic contact zone -----	47

Fig. II -1-11 Composite image of volcanic rocks outcropping and significant magnetic contact zone	49
Fig. II -1-12 Landsat image with significant magnetic contact zone in the central survey area	51
Fig. II -1-13 Landsat image with significant magnetic central zone in the western survey area	58
Fig. II -1-14 Landsat image with volcanic rocks outcropping, copper prospect area and significant magnetic contact zone	55
Fig. II -1-15 Landsat image with volcanic rocks outcropping, copper prospect area and significant magnetic contact zone in the central to western survey area	57
Fig. II -2-1 Stratigraphic Columnar Section of Area A, Area B and Area C	61
Fig. II -2-2 Geologic map, profile and Mineral showings of Area A	65-66
Fig. II -2-3 Stratigraphic Columnar Section of Samail Volcanic Rocks	67
Fig. II -2-4 Mineral showing of Doqal area in Area A	69
Fig. II -2-5 Mineral showing of Ghuzayn Village in Area A	73
Fig. II -2-6 Mineral showing of Fardah and Sanah in Area A	75
Fig. II -2-7 Geologic map, profile and Mineral showings of Area B	77-78
Fig. II -2-8 Geologic map, profile and Mineral showings of Area C	81-82
Fig. II -3-1 Stratigraphic Columnar Section of Semi-detail survey areas	87
Fig. II -3-2 Geologic map and Mineral showings of Ghuzayn Area	89-90
Fig. II -3-3 Geologic profile of Ghuzayn Area, Buwayrik-Daris 3A5 Area, and Daris-Daris West Area	91
Fig. II -3-4 Geologic map and Mineral showing of Ghuzayn Gossan in Area A	97-98
Fig. II -3-5 Geologic profile of Ghuzayn Gossan in Area A	99
Fig. II -3-6 Geologic map and Mineral showings of Buwayrik-Daris 3A5 Area	100
Fig. II -3-7 Geologic map and Mineral showings of Daris-Daris West Area	103-104
Fig. II -4-1 Dipole-dipole array and plotting procedure	108
Fig. II -4-2 Waveform produced by the transmitter	108
Fig. II -4-3 Sampling interval of the TDIP receiver stations	108
Fig. II -4-4 IP line locations in Ghuzayn Gossan area	119-120
Fig. II -4-5 Apparent resistivity pseudo-sections in Ghuzayn Gossan area	121

Fig. II-4-6 Chargeability pseudo-sections in Ghuzayn Gossan area	123
Fig. II-4-7 Metal factor pseudo-sections in Ghuzayn Gossan area	125
Fig. II-4-8 Apparent resistivity plan map in Ghuzayn Gossan area(n=1)	127
Fig. II-4-9 Chargeability plan map in Ghuzayn Gossan area	129
Fig. II-4-10 Metal factor plan map in Ghuzayn Gossan area	131
Fig. II-4-11 Results of model simulation in Ghuzayn Gossan area(1)	133
Fig. II-4-12 Results of model simulation in Ghuzayn Gossan area(2)	135
Fig. II-4-13 IP line locations in Ghuzayn East area	137-138
Fig. II-4-14 Apparent resistivity pseudo-sections in Ghuzayn East area	139
Fig. II-4-15 Chargeability pseudo-sections in Ghuzayn East area	141
Fig. II-4-16 Metal factor pseudo-sections in Ghuzayn East area	143
Fig. II-4-17 Apparent resistivity plan map in Ghuzayn East area	145
Fig. II-4-18 Chargeability plan map in Ghuzayn East area	147
Fig. II-4-19 Metal factor plan map in Ghuzayn East area	149
Fig. II-4-20 Results of model simulation in Ghuzayn East area(1)	151
Fig. II-4-21 Results of model simulation in Ghuzayn East area(2)	153
Fig. II-4-22 IP line locations in Ghuzayn West area	155-156
Fig. II-4-23 Apparent resistivity pseudo-sections in Ghuzayn West area	157
Fig. II-4-24 Chargeability pseudo-sections in Ghuzayn West area	159
Fig. II-4-25 Metal factor pseudo-sections in Ghuzayn West area	161
Fig. II-4-26 Apparent resistivity plan map in Ghuzayn West area	163
Fig. II-4-27 Chargeability plan map in Ghuzayn West area	165
Fig. II-4-28 Metal factor plan map in Ghuzayn West area	167
Fig. II-4-29 Results of model simulation in Ghuzayn West area(1)	169
Fig. II-4-30 Results of model simulation in Ghuzayn West area(2)	171
Fig. II-4-31 IP line locations in Daris 3A5 area	173-174
Fig. II-4-32 Apparent resistivity pseudo-sections in Daris 3A5 area	175
Fig. II-4-33 Chargeability pseudo-sections in Daris 3A5 area	177
Fig. II-4-34 Metal factor pseudo-sections in Daris 3A5 area	179
Fig. II-4-35 Apparent resistivity plan map in Daris 3A5 area	181
Fig. II-4-36 Chargeability plan map in Daris 3A5 area	183
Fig. II-4-37 Metal factor plan map in Daris 3A5 area	185
Fig. II-4-38 Results of model simulation in Daris 3A5 area(1)	187
Fig. II-4-39 Results of model simulation in Daris 3A5 area(2)	189
Fig. II-4-40 IP line locations in Daris area	191-192

Fig. II-4-41 Apparent resistivity pseudo-sections in Daris area(1)	193
Fig. II-4-42 Apparent resistivity pseudo-sections in Daris area(2)	195
Fig. II-4-43 Chargeability pseudo-sections in Daris area(1)	197
Fig. II-4-44 Chargeability pseudo-sections in Daris area(2)	199
Fig. II-4-45 Metal factor pseudo-sections in Daris area(1)	201
Fig. II-4-46 Metal factor pseudo-sections in Daris area(2)	203
Fig. II-4-47 Apparent resistivity plan map in Daris area	205
Fig. II-4-48 Chargeability plan map in Daris area	207
Fig. II-4-49 Metal factor plan map in Daris area	209
Fig. II-4-50 Results of model simulation in Daris area(1)	211
Fig. II-4-51 Results of model simulation in Daris area(2)	213
Fig. II-5-1 Ghuzayn survey site showing transmitter loop location	220
Fig. II-5-2 Daris survey site showing transmitter loop location	221
Fig. II-5-3 Schematic TEM survey configuration	222
Fig. II-5-4 Example of TEM decay curve	223
Fig. II-5-5 Example of 1-D smooth layer inversion analysis	223
Fig. II-5-6 Resistivity sections in Ghuzayn Gossan north area	225
Fig. II-5-7(1) Resistivity plan maps in Ghuzayn Gossan north area	227
Fig. II-5-7(2) Resistivity plan maps in Ghuzayn Gossan north area	229
Fig. II-5-8 Resistivity sections in Ghuzayn Gossan west area	231
Fig. II-5-9(1) Resistivity plan maps in Ghuzayn Gossan west area	233
Fig. II-5-9(2) Resistivity plan maps in Ghuzayn Gossan west area	235
Fig. II-5-10 Resistivity sections in Daris area	237
Fig. II-5-11 Resistivity sections in Daris area	239
Fig. II-5-12(1) Resistivity plan maps in Daris area	241
Fig. II-5-12(2) Resistivity plan maps in Daris area	243

表 一 覽

Table I-1-1 Content and amount of field work	2
Table I-1-2 Content and amount of laboratory work	2
Table I-1-3 List of mineral deposits and showing in the survey area	11
Table II-1-1 Previous survey in the prospect areas	30

Table II-1-2 Estimated ore reservoirs of Daris 3A5 deposits	34
Table II-1-3 Composition of the Al Ajal massive ore in the AJ-2 borehole	38
Table II-1-4 Acquisition parameters for airborne geophysical survey conducted by WGC	41
Table II-2-1 Ore minerals of samples determinate by microscopic observation	70
Table II-2-2(1) Analytical data obtained on ore samples from outcrops	71
Table II-2-2(2) Analytical data obtained on ore samples from outcrops	72
Table II-2-3 Rocks and mineral assemblages of samples determinate by X-ray diffraction	74
Table II-2-4 Target areas for VSM Exploration in Regional survey areas	83
Table II-3-1 Rocks and mineral assemblages of samples determinate by thin section	93
Table II-4-1 Survey Amounts	105
Table II-4-2 Resistivity, chargeability and susceptibility of rock samples	112
Table II-5-1 Survey amounts	216
Table II-5-2 Channel times after switch-off	216
Table II-5-3 Instruments	216

卷 末

Appendix 1 Total magnetic intensity map	A1
Appendix 2 Second derivative magnetic field map	A2
Appendix 3 Reduced to pole magnetic field map	A3
Appendix 4 Composite map of IP metal factor and reduced to pole magnetic field data of Chuzayn area	A4
Appendix 5 Composite map of IP metal factor and reduced to pole magnetic field data of Daris 3A5 area	A5
Appendix 6 Composite map of IP metal factor and reduced to pole magnetic field data of Daris area	A6

付 図 一 覧

Plate II-2-1 Geologic map and profile of Area A

Plate II-2-2 Geologic map and profile of Area B

Plate II-2-3 Geologic map and profile of Area C

Plate II-2-4 Sample locations in Area A

Plate II-2-5 Sample locations in Area B

Plate II-2-6 Sample locations in Area C

Plate II-3-1 Geologic map and profile of Ghuzayn Area

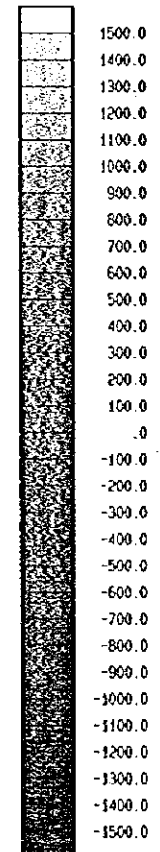
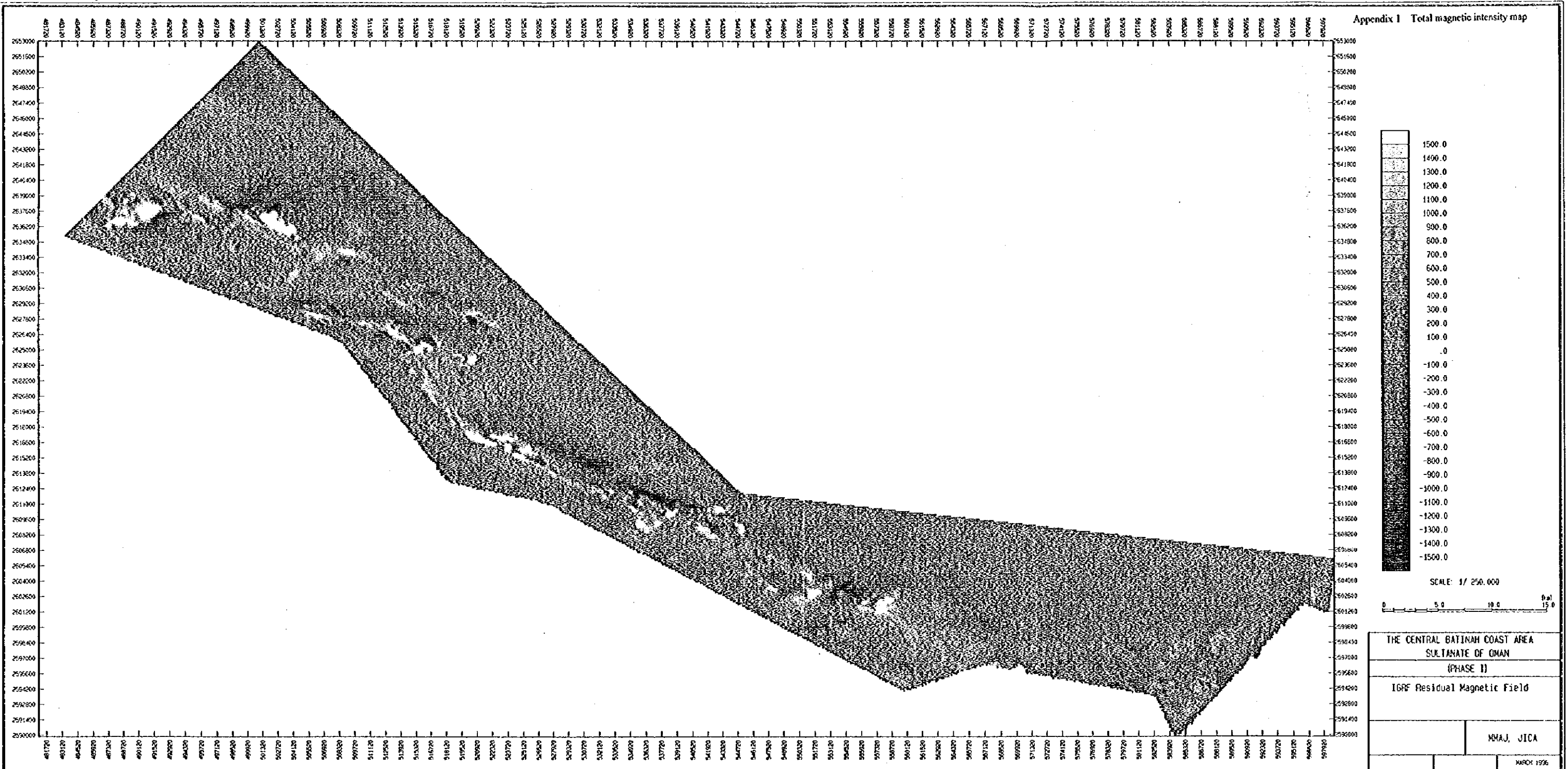
Plate II-3-2 Geologic map and profile of Bwayrik-Daris 3A5 Area

Plate II-3-3 Geologic map and profile of Daris-Daris West Area

Plate II-3-4 Geologic profile of Ghuzayn Area, Bwayrik-Daris 3A5 Area and
Daris-Daris West Area

卷 末

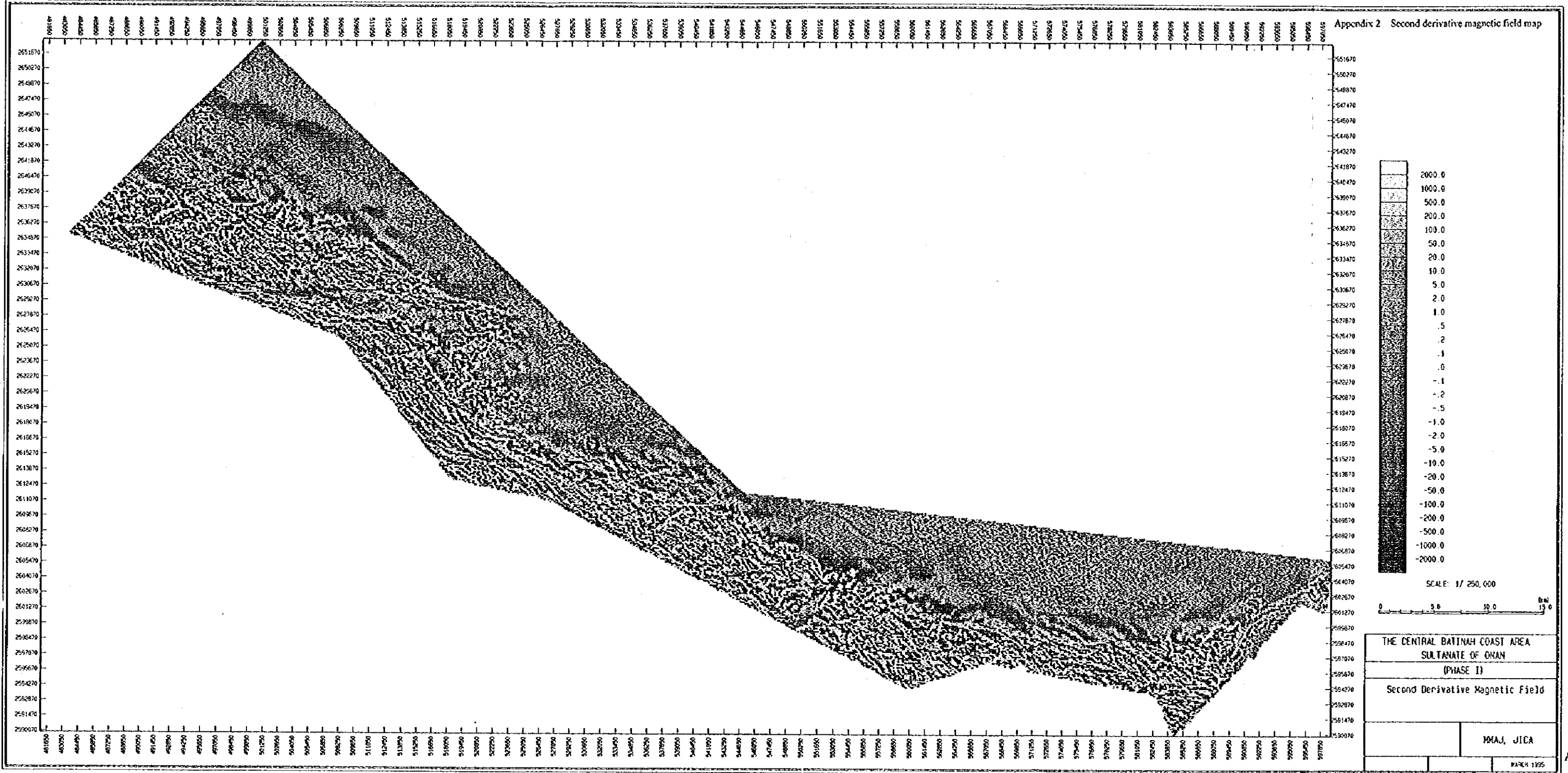
Appendix 1 Total magnetic intensity map



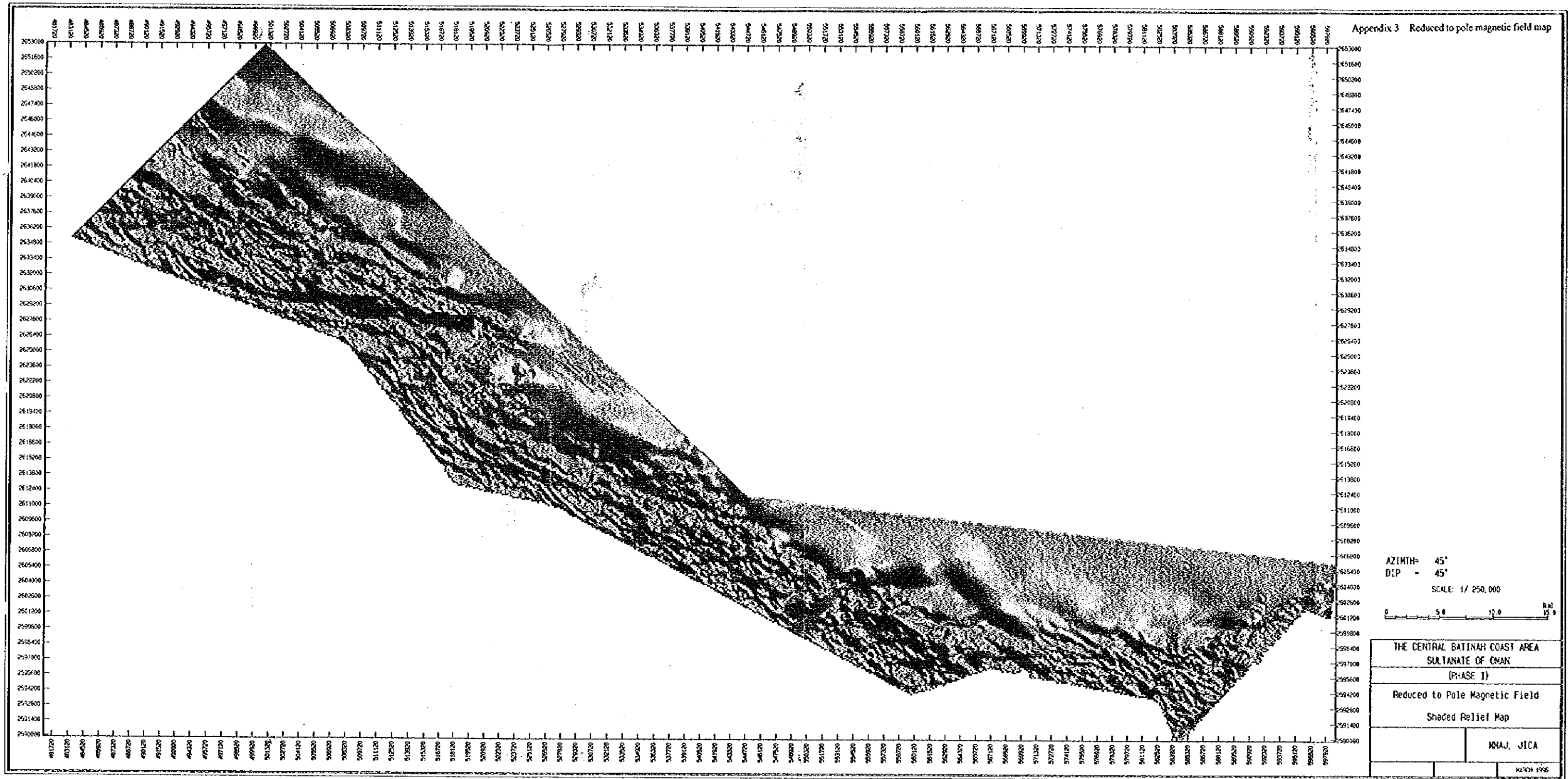
SCALE: 1/ 250,000
 0 5 10 15 Kilometers

THE CENTRAL BATINAH COAST AREA
 SULTANATE OF OMAN
 (PHASE II)
 IGRF Residual Magnetic Field
 MAJ, JICA
 MARCH 1996

Appendix 2 Second derivative magnetic field map



Appendix 3 Reduced to pole magnetic field map

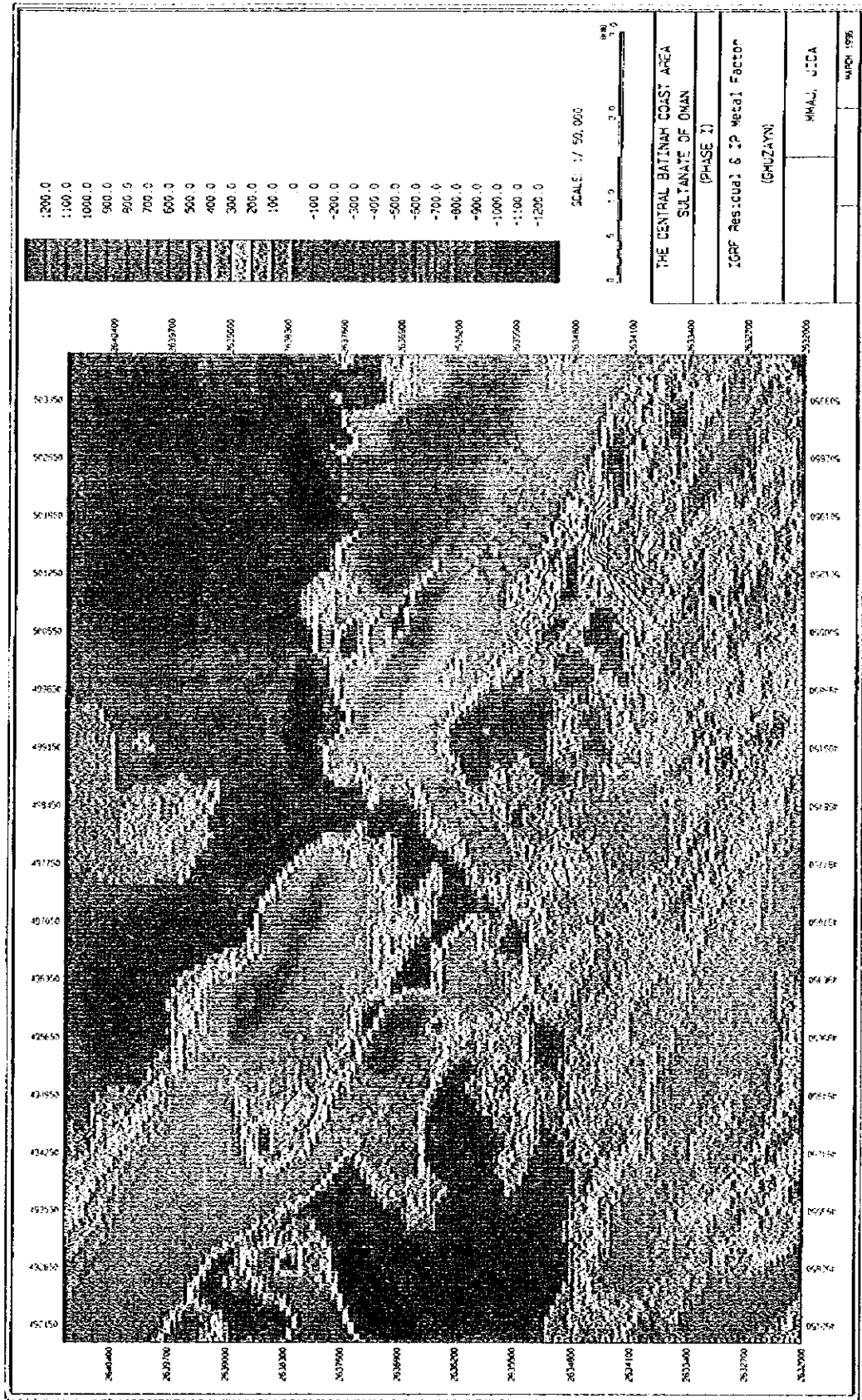


AZIMUTH = 45°
 DIP = 45°
 SCALE: 1/250,000

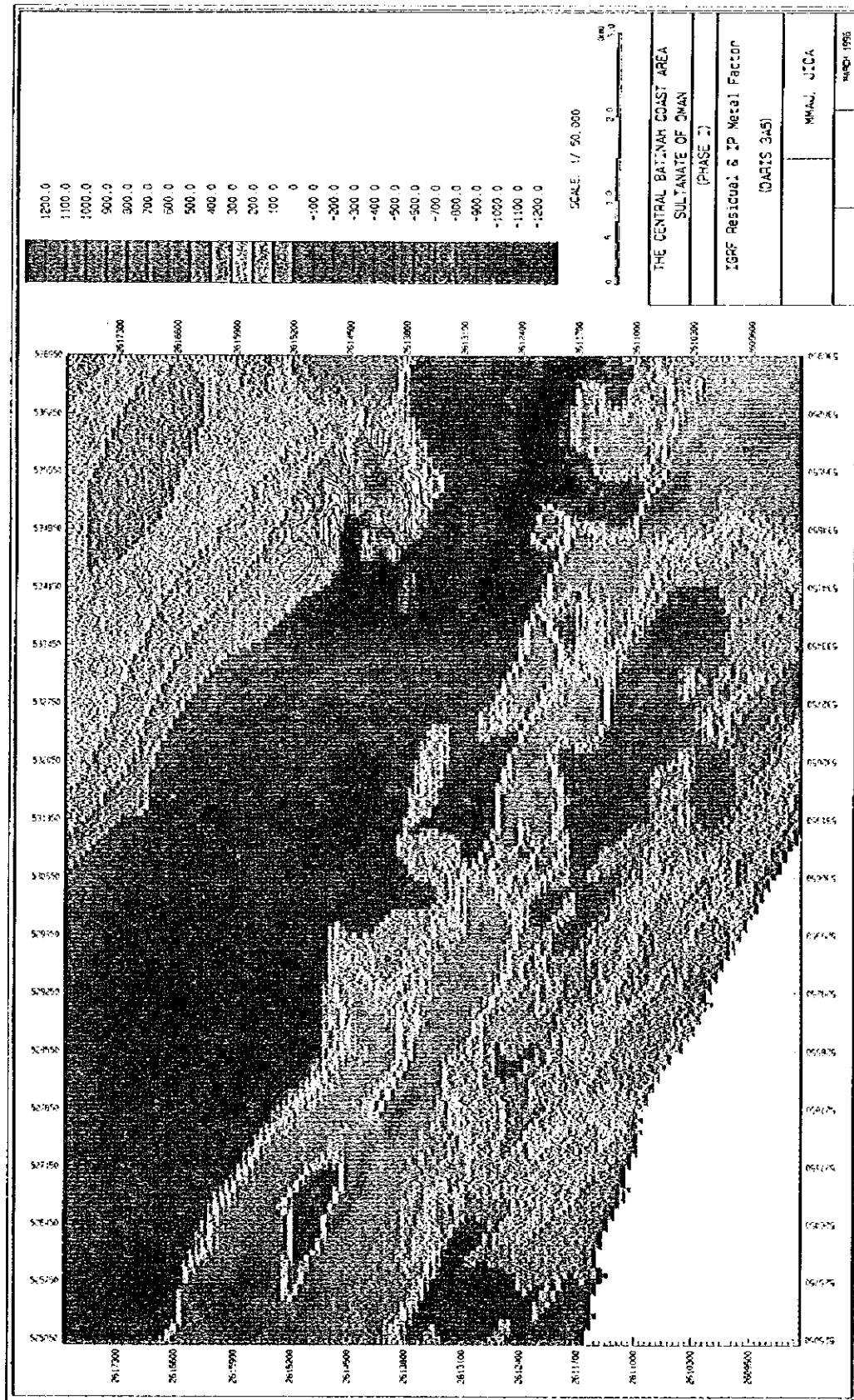
0 5.0 10.0 KM

THE CENTRAL BATINAH COAST AREA
 SULTANATE OF OMAN
 (PHASE I)
 Reduced to Pole Magnetic Field
 Shaded Relief Map

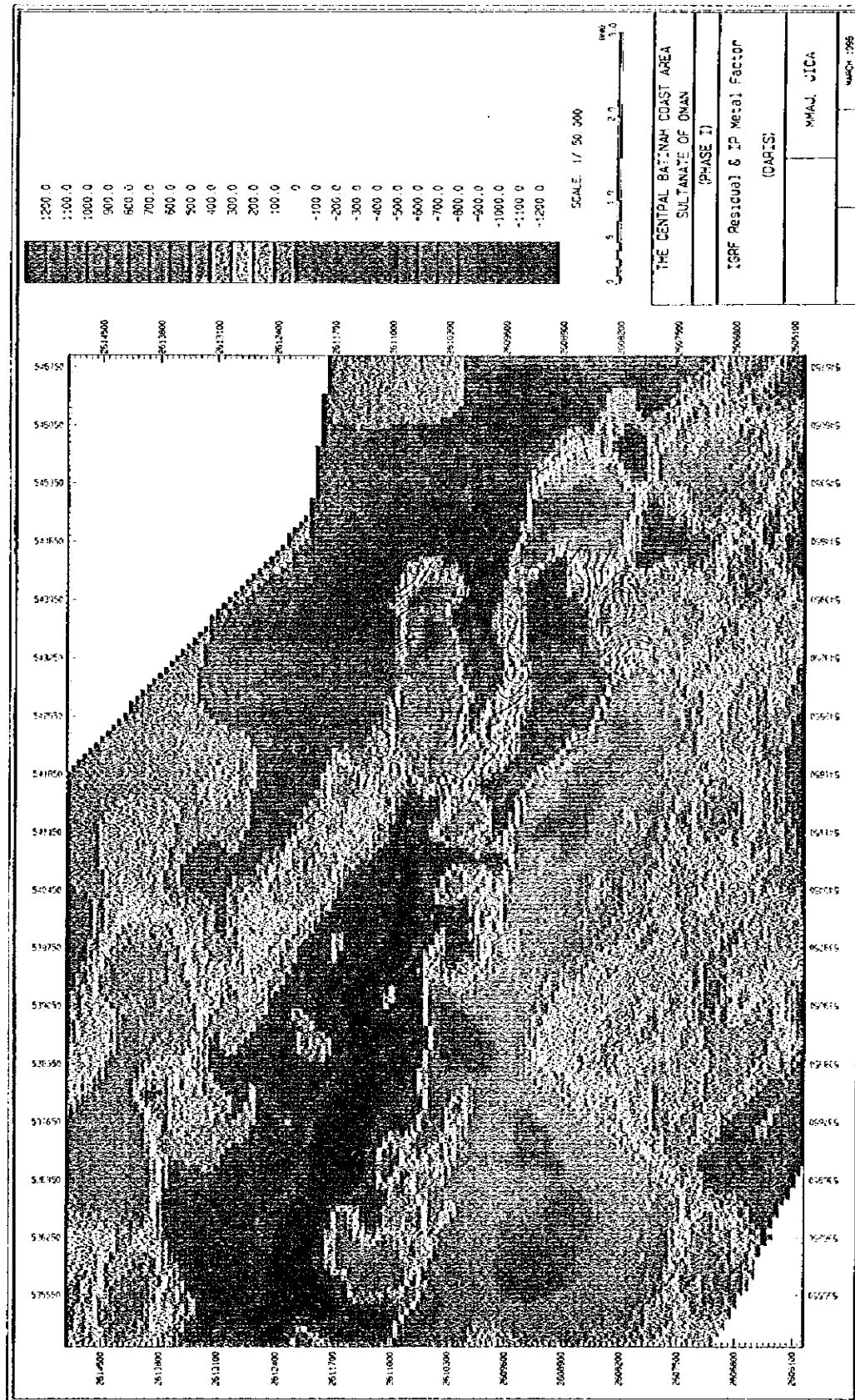
KMAJ, JICA
 MARCH 1996



Appendix 4 Composite map of IP metal factor and reduced to pole magnetic field data of Ghuzayn area



Appendix 5 Composite map of IP metal factor and reduced to pole magnetic field data of Daris 3A5 area



Appendix 6 Composite map of IP metal factor and reduced to pole magnetic field data of Daris area

